



Modelos MLP e CNN –  
UrbanSound8K

# Classificação de Áudio com Deep Learning

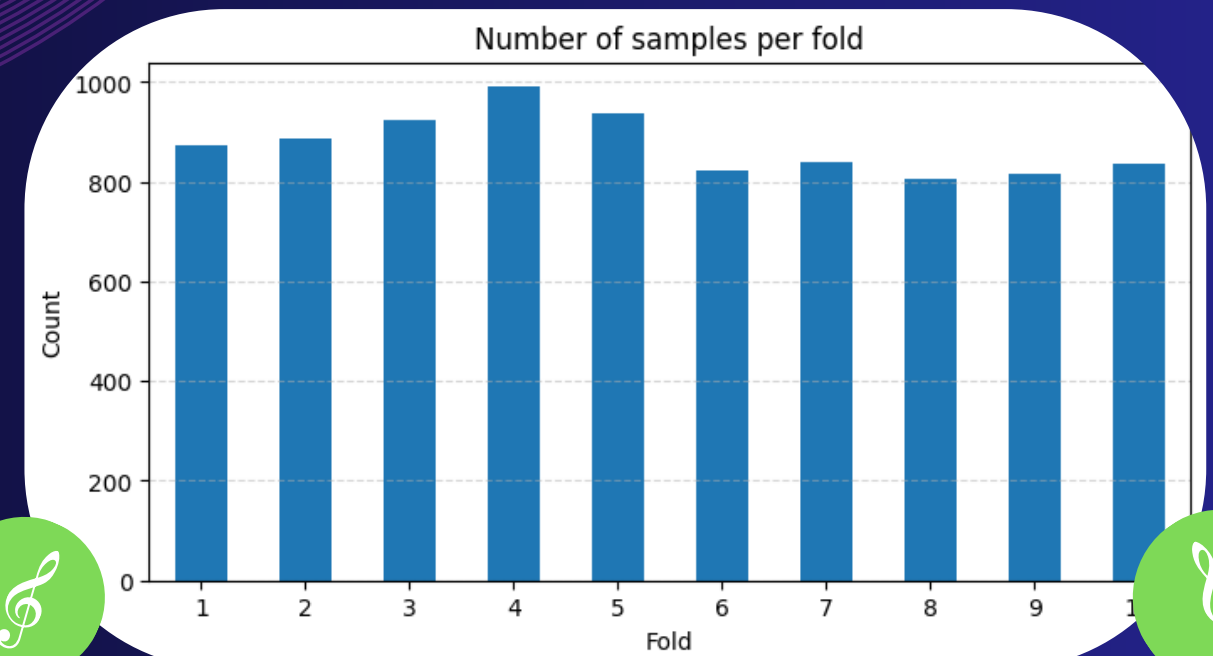
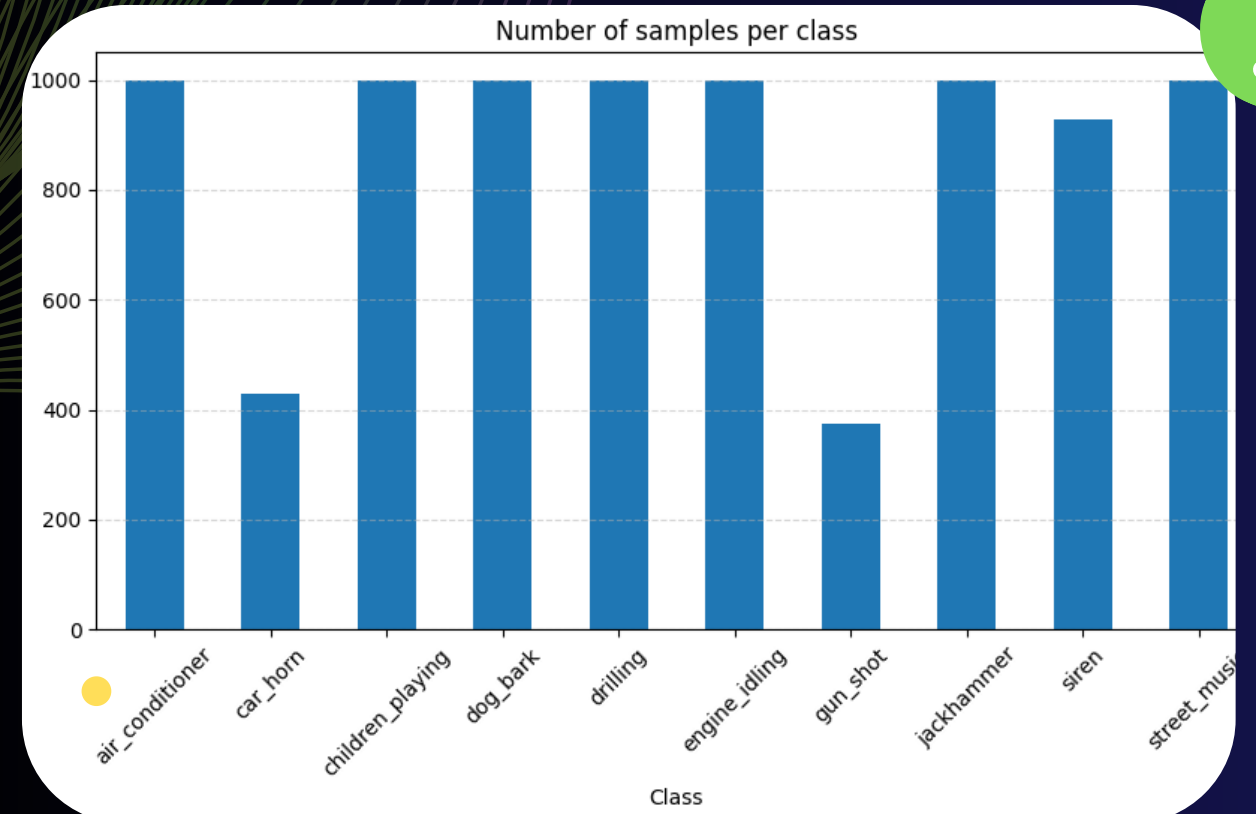
*Aprendizagem Computacional II – LIACD 2025/26*

Autores: Alexandre Furriel, Daniel Gomes e Liliana Silva



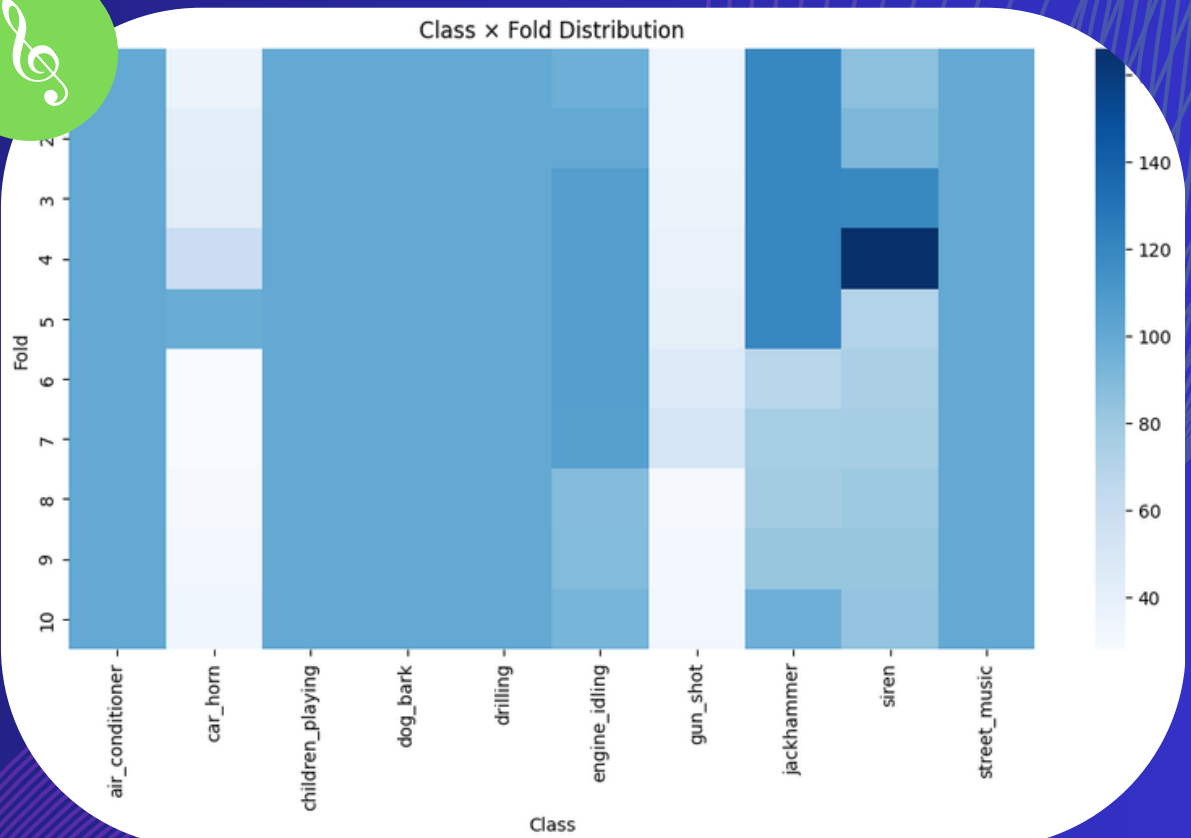
## Características do Dataset

- 8732 excertos de áudio ( $\leq 4\text{s}$ )
- 10 classes de sons urbanos
- Divisão oficial em 10 folds
- Variabilidade elevada entre samples (ambiente, volume, ruído)



## Padrões observados na análise

- Desbalanceamento claro em classes como car\_horn e gun\_shot
- Tamanho dos folds moderadamente desigual
- Distribuição classe x fold bastante estável



# Dataset



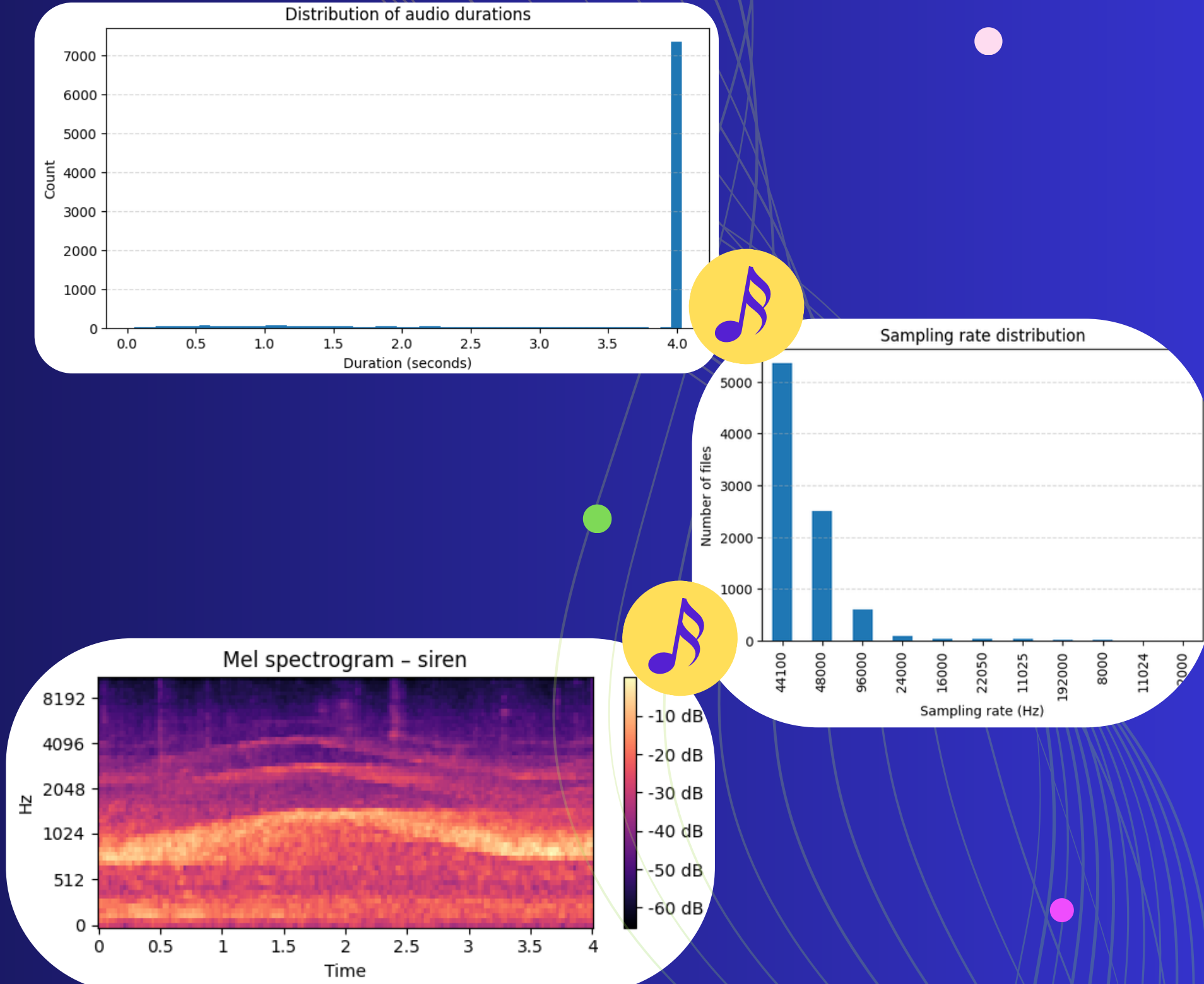
# Pré-Processamento

## Desafios

- Durações inconsistentes
- Sampling rates diferentes
- Variabilidade de ruído e volume

## Decisões

- Uniformização da sampling rate
- Padding para duração fixa
- Normalização dos sinais
- Extração de Mel Spectrograms
- Preparação de tensores para MLP e CNN



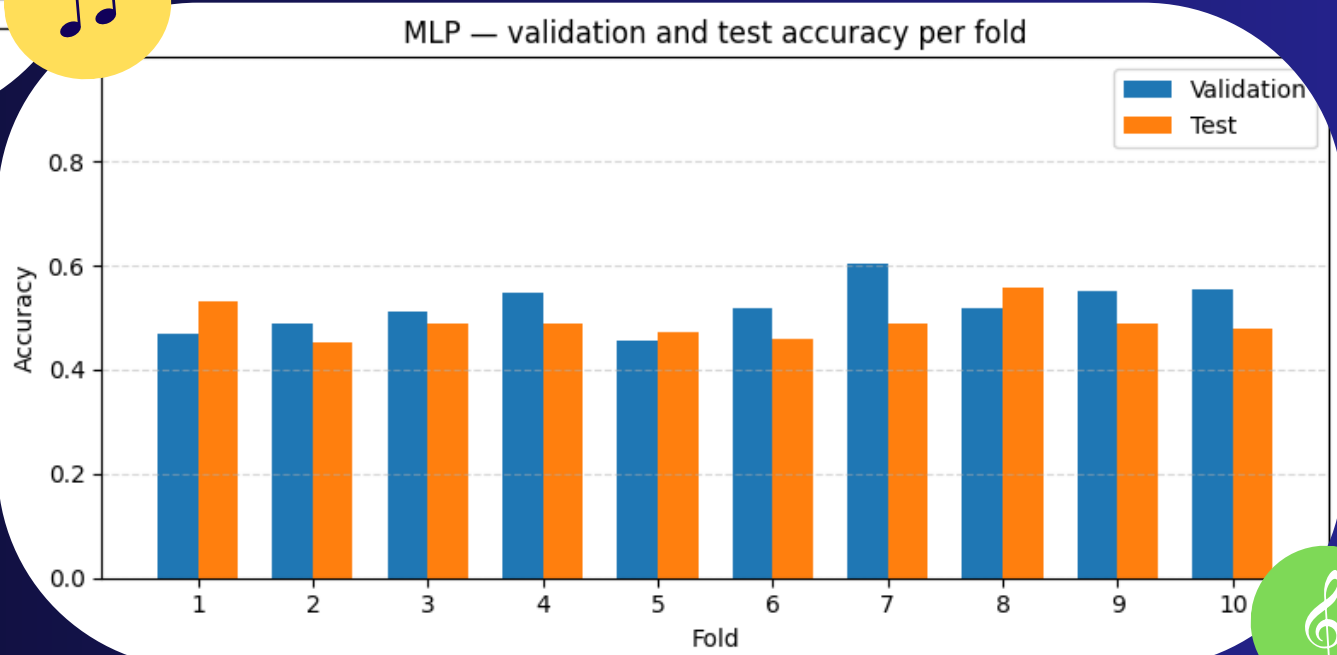
# MLP – Modelo Baseline

## Input

- MelMel spectrogram ( $64 \times 173$ ) flatten → vector 1D (~11k features)

# Arquitetura

- 2 camadas Dense ( $512 \rightarrow 256$ ) + ReLU
  - Batch Normalization
  - Dropout (0.5)
  - Softmax para 10 classes

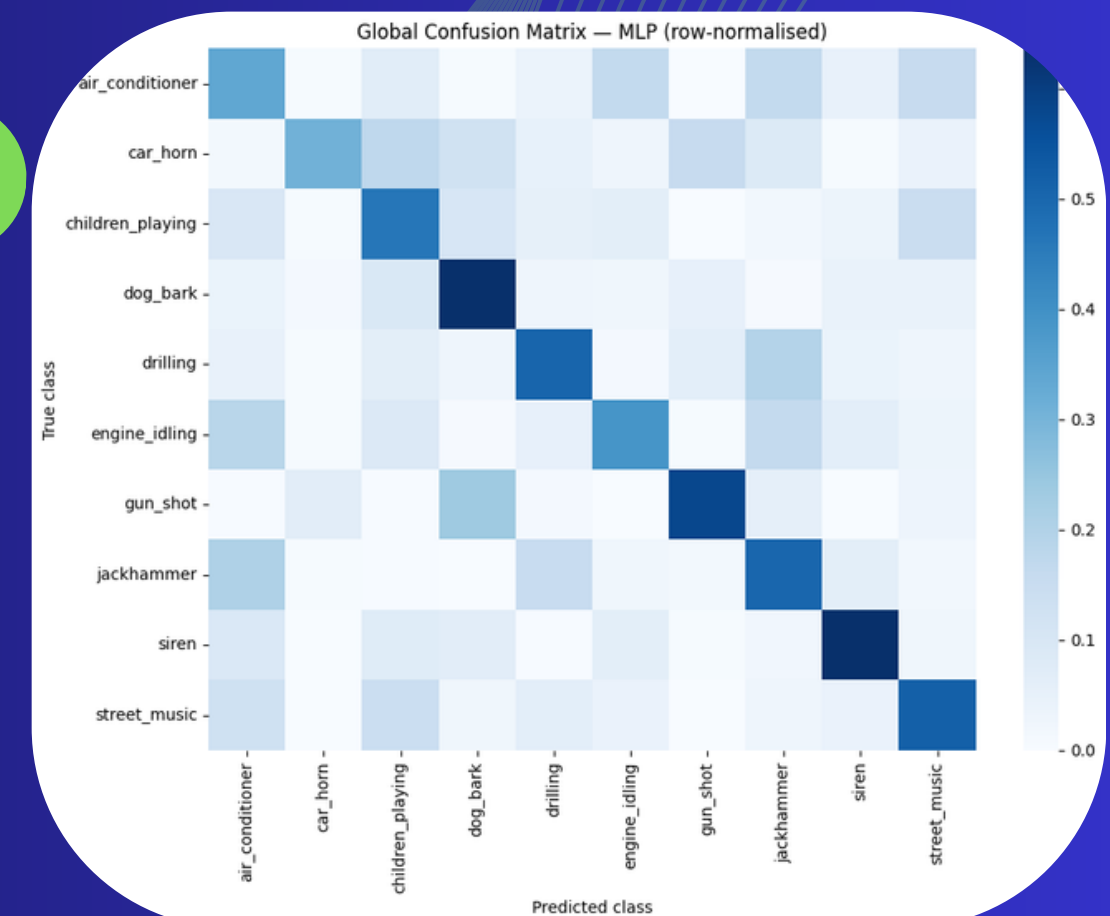


# Comportamento

- Convergência rápida
  - Overfitting moderado ( $\text{train} > \text{val}$ )
  - Validação instável (flutuações elevadas)

## Desempenho (10-fold)

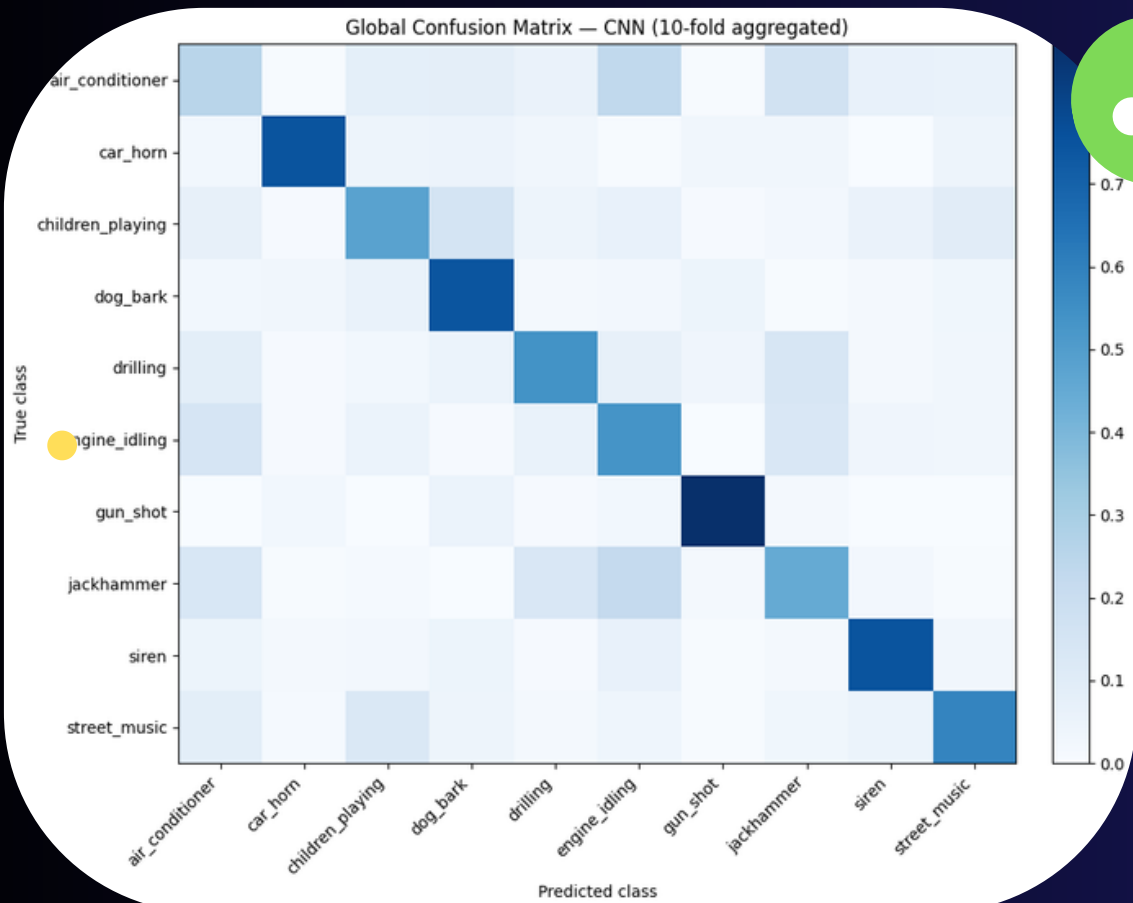
- Val acc  $\approx 53\% \pm 5\%$
  - Test acc  $\approx 48\% \pm 5\%$
  - Erros sistemáticos em classes contínuas  
(air\_conditioner, engine\_idling)



# CNN (64 Mel Bands)

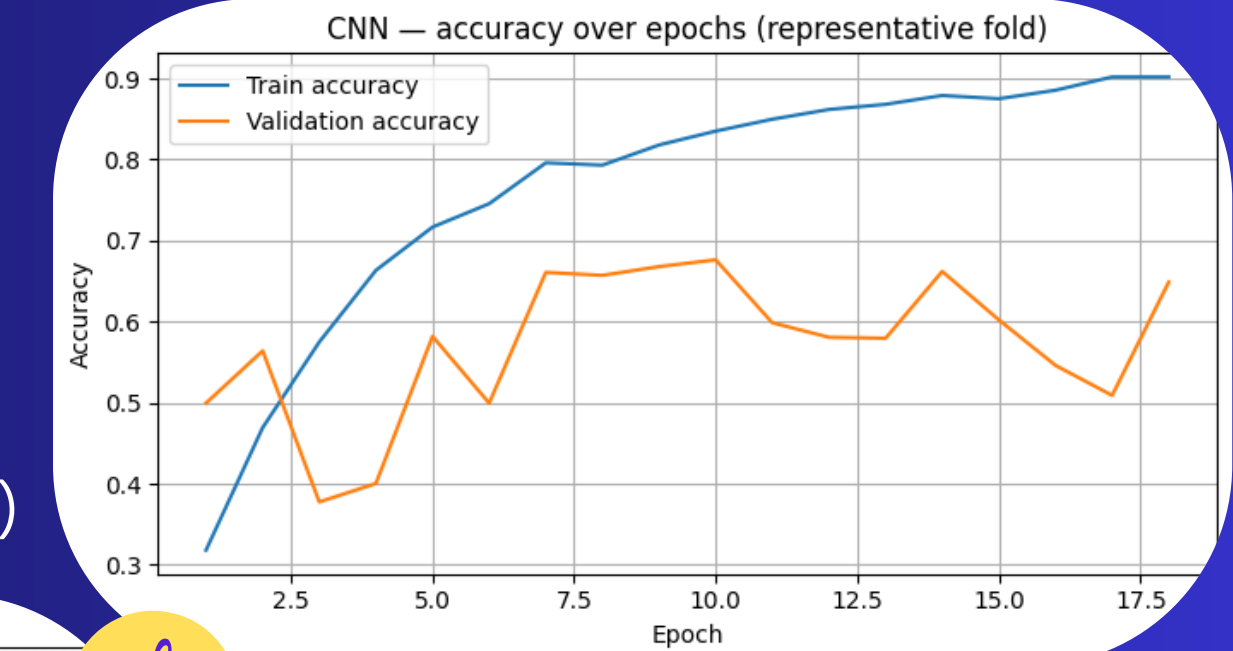
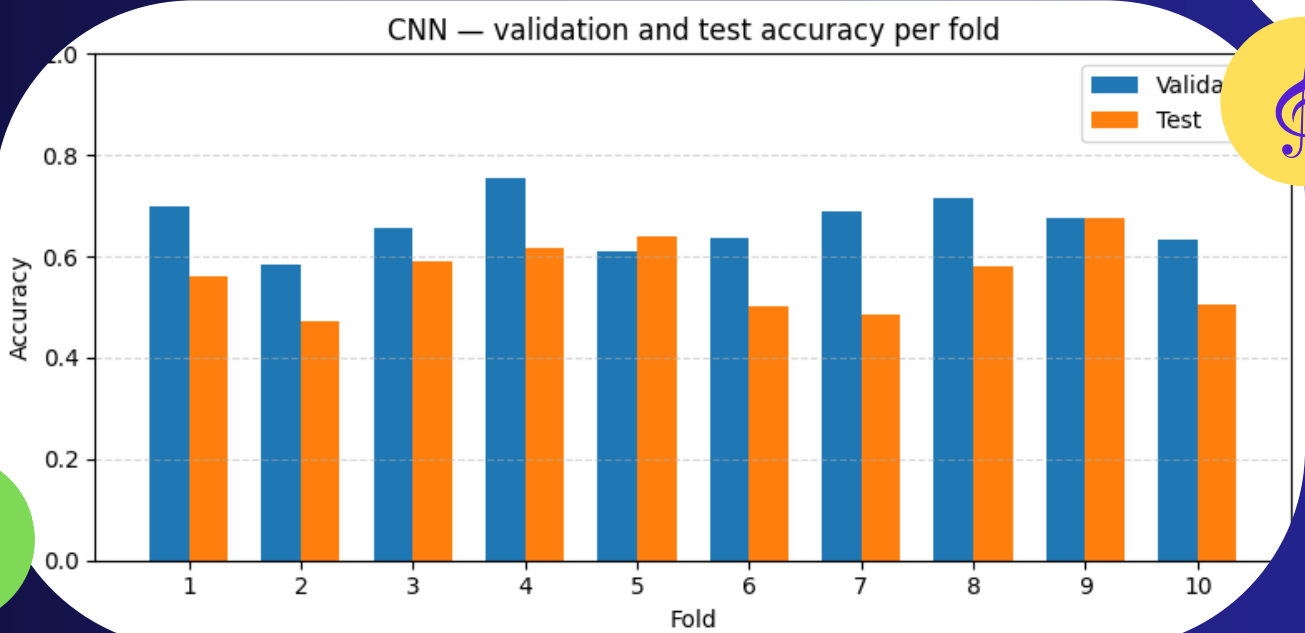
## Arquitetura

- Conv2D + BatchNorm + ReLU
- MaxPooling
- Dropout
- Dense final (10 classes)



## Input

- Mel spectrogram 2D ( $64 \times 173 \times 1$ )



## Comportamento

- Melhor generalização vs MLP
- Menor overfitting
- Validação estável mas com flutuações iniciais
- Captura padrões locais (transientes e texturas)

## Desempenho (10-fold)

- Val acc  $\approx 0.65 \pm 0.05$
- Test acc  $\approx 0.58 \pm 0.06$
- Grandes melhorias em classes transitórias (car\_horn, dog\_bark)
- Confusão ainda presente entre classes contínuas (air\_conditioner, engine\_idling)



# Refinamento Espectral: 64 → 96 Mel Bands

## Porque ajustar:

- Baixa resolução nos 64 bins limitava a separação em regiões críticas de baixa frequência.
- Harmónicos mecânicos ficavam sobrepostos e difíceis de distinguir.
- Cenas amplas exigiam maior granularidade espectral.

## Decisão:

- Aumentar a resolução para 96 Mel bands, mantendo todo o resto constante (modelo, treino, folds).

## Objetivo:

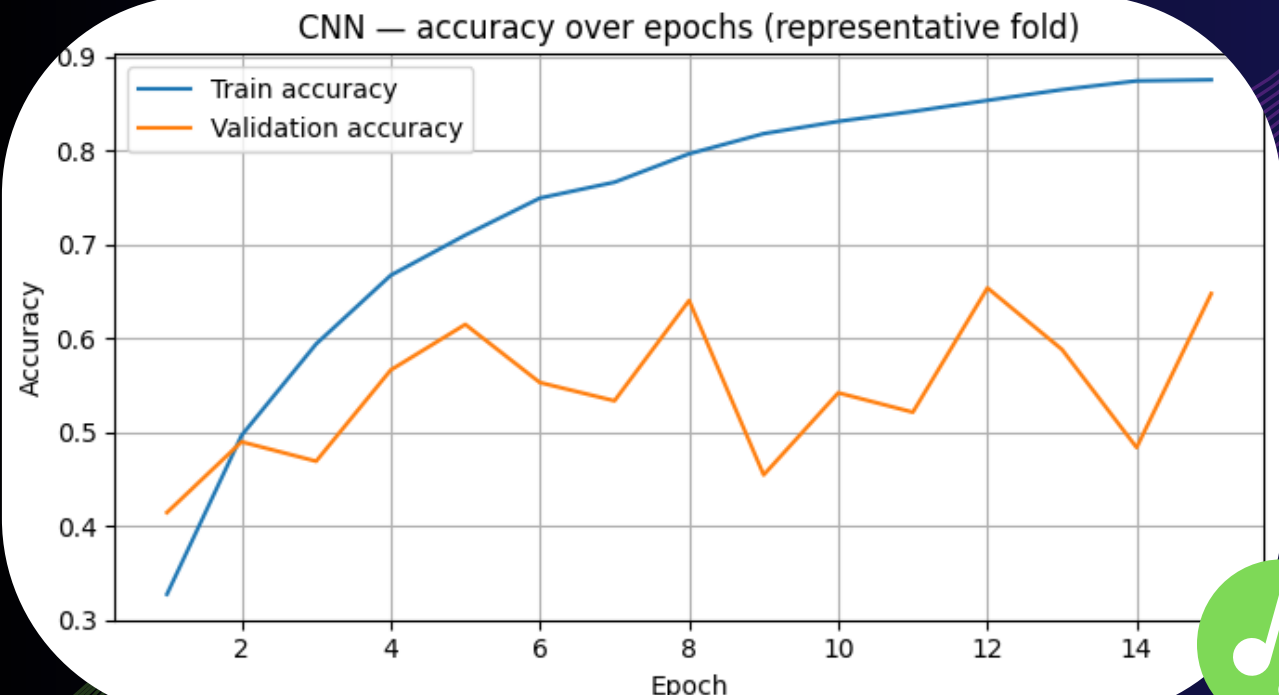
- Verificar se o aumento de detalhe espectral reduz a confusão e melhora a generalização.

## Problema Detetado no CNN-64

Baixa frequência	Confusão entre <i>air_conditioner</i> e <i>engine_idling</i> devido a espectros quase idênticos
Sons mecânicos periódicos	<i>drilling</i> ↔ <i>jackhammer</i> apresentam harmónicos sobrepostos
Cenas complexas	<i>children_playing</i> ↔ <i>street_music</i> apresentam mistura de fontes e variabilidade elevada



# CNN (96 Mel Bands)

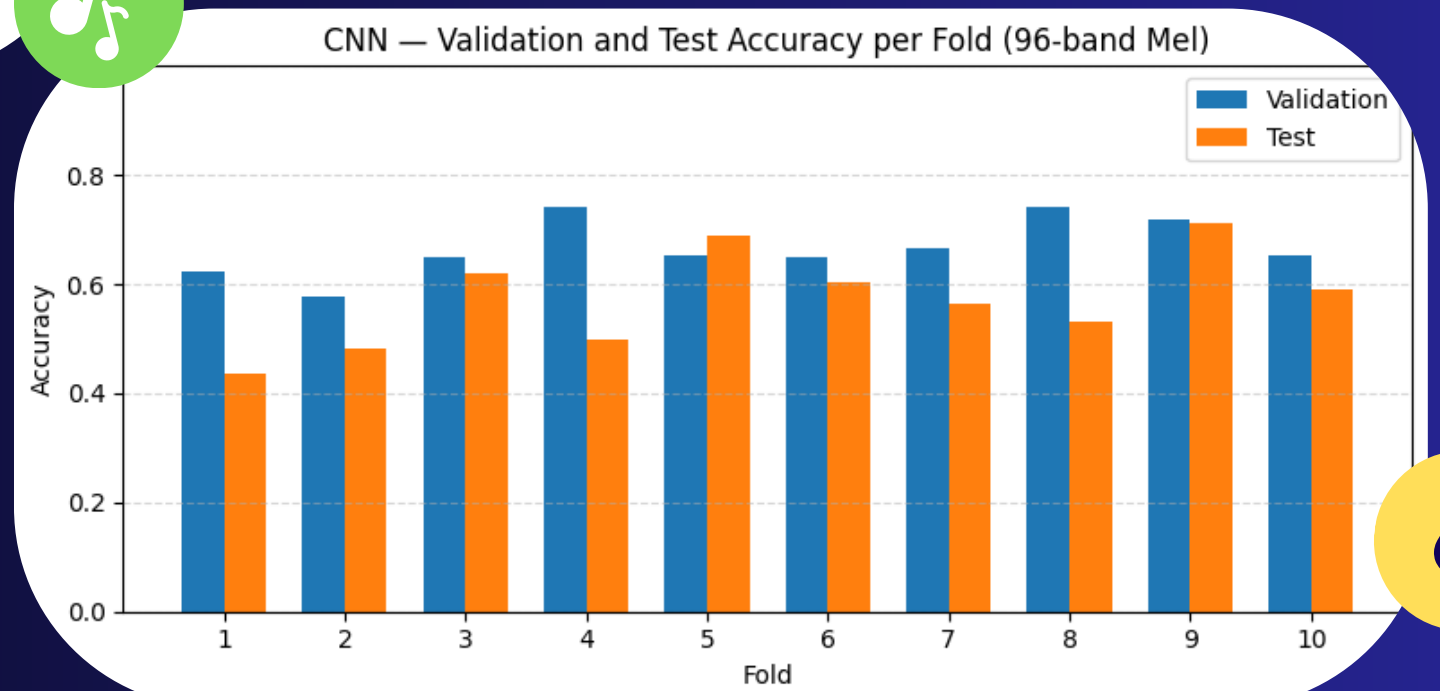


# Desempenho (10-fold)

- Val acc  $\approx 0.687 \pm 0.045$
  - Test acc  $\approx 0.607 \pm 0.049$
  - Variância do teste  $\approx 0.049$
  - Ganhos particularmente fortes em classes mecânicas

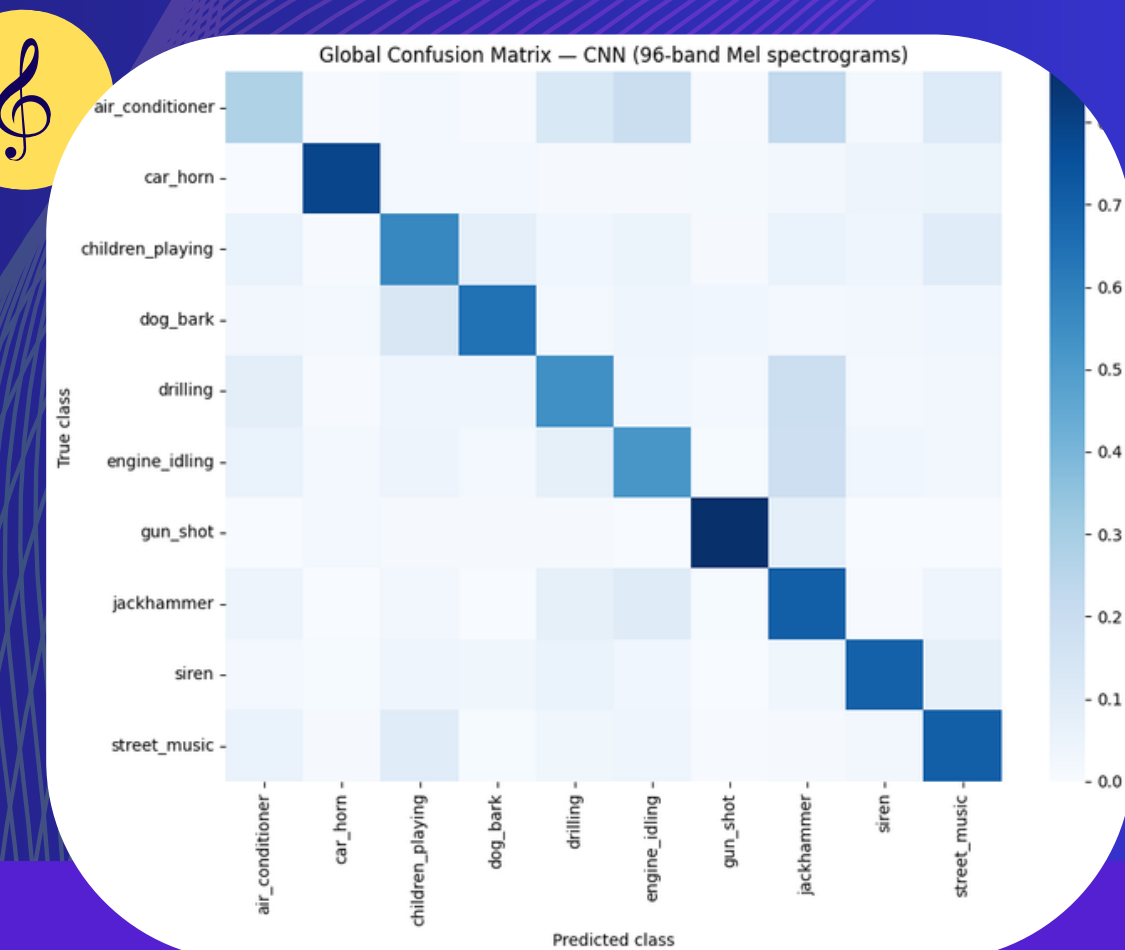
# Insights da Matriz de Confusão

- Diagonais mais fortes em classes de baixa frequência
  - Melhor separação em padrões periódicos (drilling, jackhammer)
  - Menor leakage children\_playing  $\leftrightarrow$  street\_music
  - Confusão persistente apenas em pares acusticamente semelhantes



# Comportamento

- Gap val→test reduzido (modelo mais estável)
  - Melhoria clara em classes contínuas e estacionárias
  - Curvas de validação mais regulares vs. CNN-64
  - Menor dependência do fold; comportamento consistente

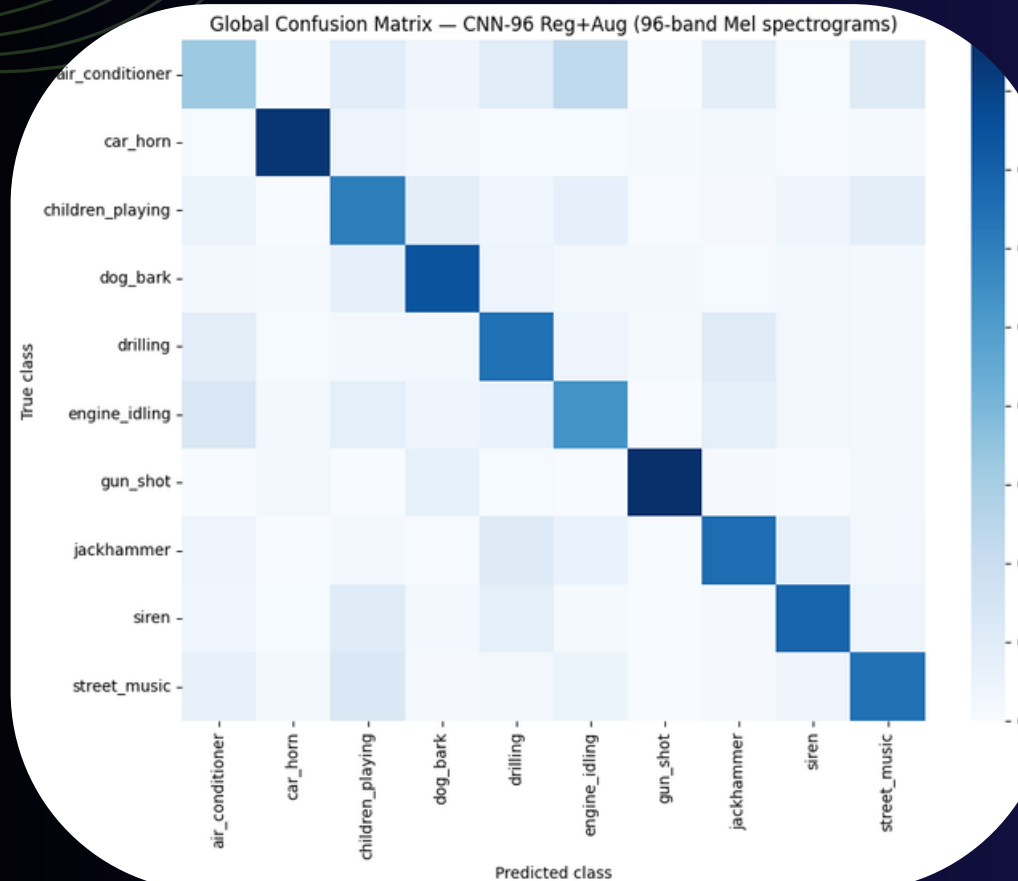




# CNN-96 + Reg/Aug

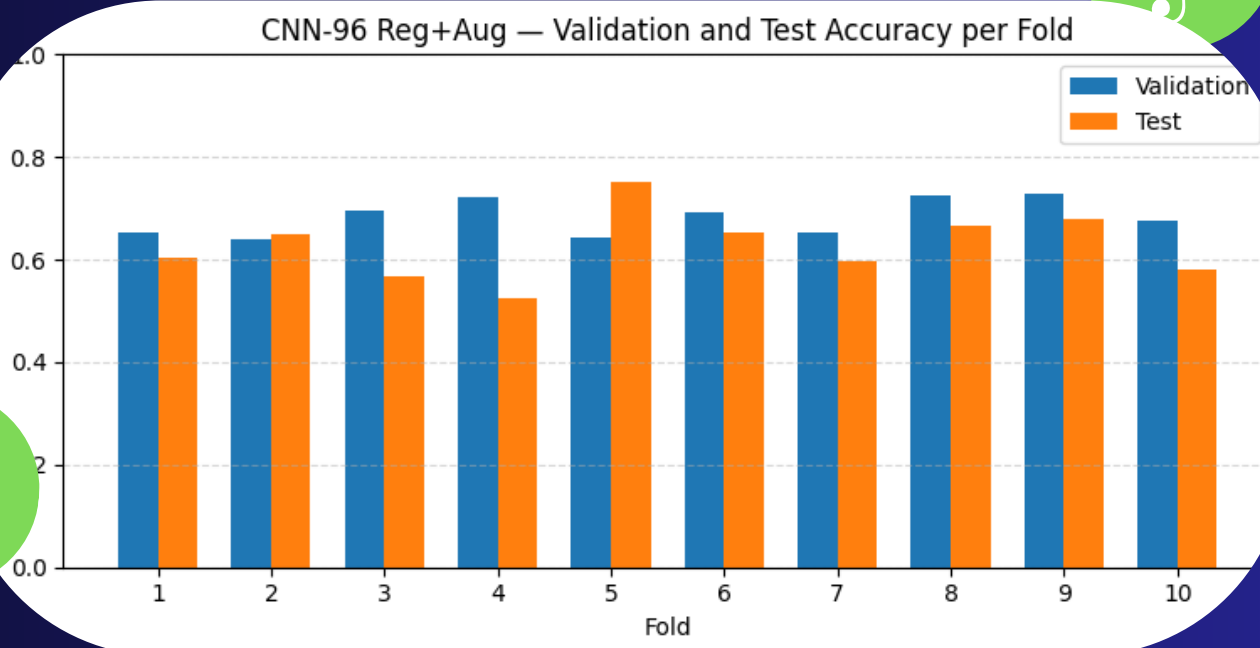
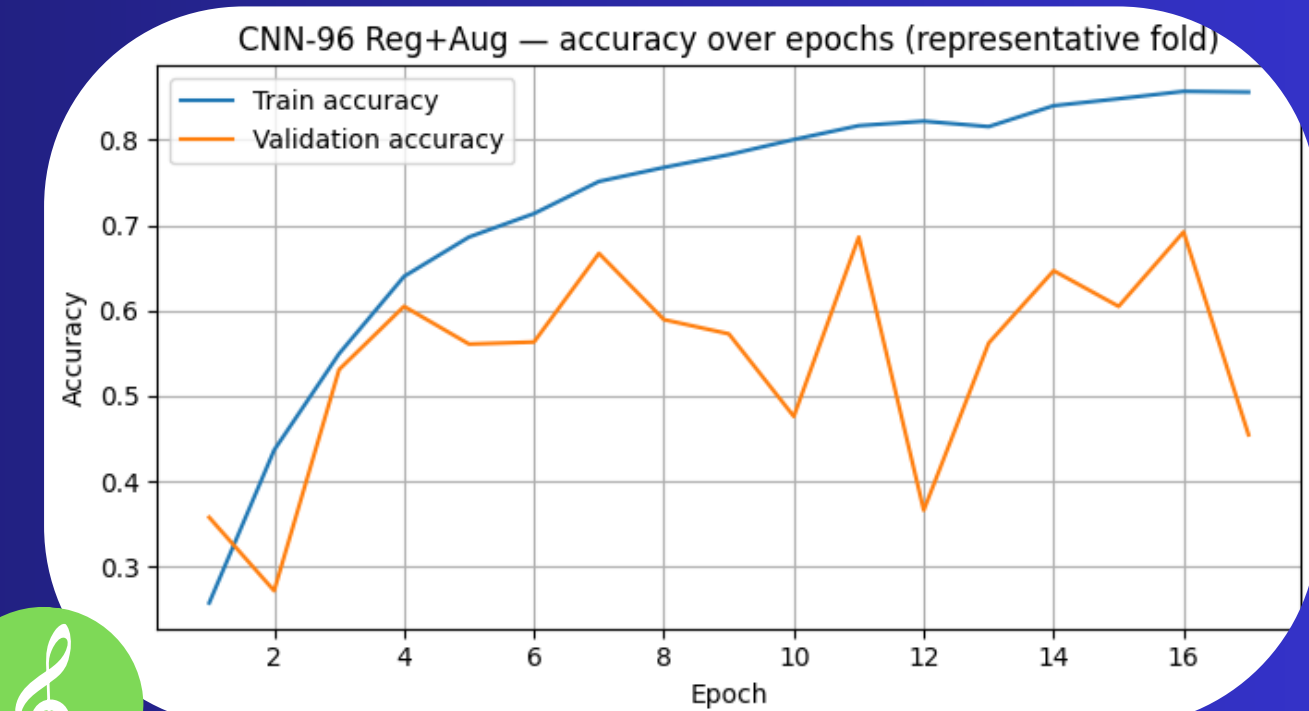
## Comportamento

- Diferença val→test mais pequena → overfitting reduzido
- Curvas de treino/validação mais estáveis
- Maior consistência entre folds → modelo mais robusto



## Refinamentos aplicados

- Dropout & L2 mais fortes
- Light SpecAugment (time + freq masking) apenas no treino
- Arquitetura idêntica → alteração apenas na variabilidade do treino



## Desempenho (10-fold)

- Val acc  $\approx 0.679 \pm 0.028$
- Test acc  $\approx 0.620 \pm 0.047$
- Variância do teste mais baixa ( $\approx 0.047$ )
- Pequeno trade-off: ligeira queda em validação, mas melhor generalização

## Insights da Matriz de Confusão

- Melhoria adicional em classes mecânicas (drilling, jackhammer)
- Menor leakage residual em children\_playing ↔ street\_music
- Confusão quase apenas nos pares acusticamente semelhantes

# Comparação Final dos Modelos

Modelo	Val acc (média ± std)	Test acc (média ± std)	Var. do teste	Características principais
MLP	$0,5304 \pm 0,0511$	$0,4778 \pm 0,0529$	$\sim 0,053$	Sem estrutura 2D; forte overfitting; má separação entre classes.
CNN 64 bandas	$0,6688 \pm 0,0385$	$0,5387 \pm 0,1069$	$\sim 0,107$	Explora o espectrograma 2D; boa em eventos curtos; variância alta entre folds.
CNN 96 bandas	$0,6872 \pm 0,0452$	$0,6072 \pm 0,0490$	$\sim 0,049$	Melhor resolução em baixas frequências; ganhos em classes contínuas; mais estável.
CNN 96 + Reg/Aug	$0,6788 \pm 0,0276$	$0,6197 \pm 0,0466$	$\sim 0,047$	Regularização + masking; melhor generalização global; menor sensibilidade ao fold.

- O aumento da resolução Mel ( $64 \rightarrow 96$ ) foi a melhoria mais significativa, resolvendo o principal bottleneck representacional.
- A regularização + masking reduziu o overfitting residual e estabilizou os resultados sem modificar a arquitetura.
- O modelo final (CNN-96 + Reg/Aug) apresenta o melhor equilíbrio entre desempenho, generalização e robustez.

# • Bónus e Desafios

## Bónus – DeepFool

- Aplicámos o ataque DeepFool à CNN-96 Reg+Aug no último fold de validação.
- Avaliámos 100 amostras de teste.
- O ataque enganou o modelo em 87% dos casos.
- A perturbação média tinha norma  $L_2 \approx 1.38 \times 10^6$ , praticamente imperceptível no Mel-spectrograma.
- Mostra que, apesar da boa accuracy, o modelo mantém baixa robustez adversarial.

## Desafios Identificados

- O modelo é sensível a pequenas perturbações → baixa robustez adversarial.
- Classes com padrões espectrais semelhantes continuam difíceis (ex.: air\_conditioner vs engine\_idling).
- Variância entre folds mostra dependência do conjunto de treino.
- Limitações computacionais impediram explorar arquiteturas maiores ou augmentations avançadas.